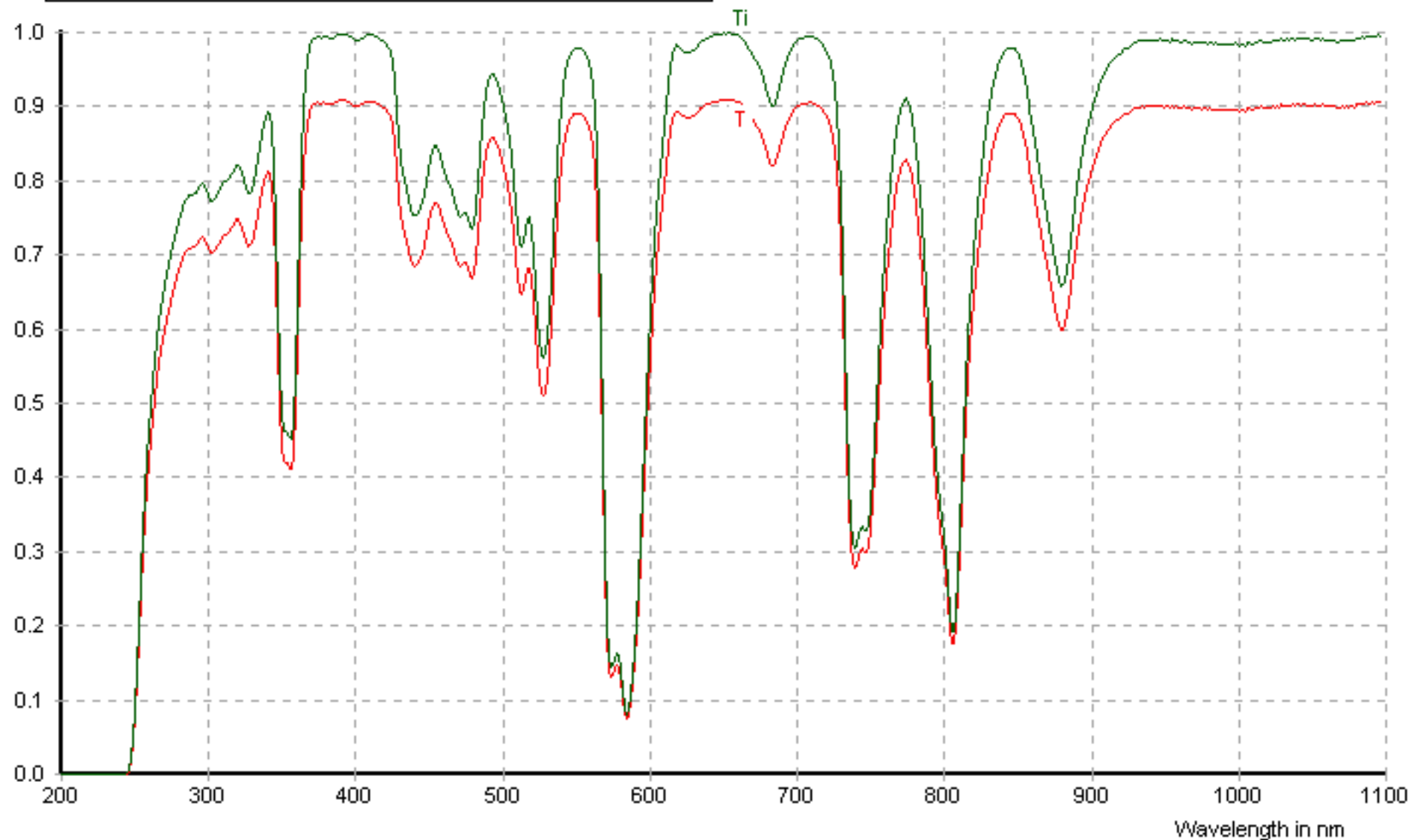


Thickness in mm : 1.0  
Wavelength in nm :  
Transmittance :  
Internal Transmittance :

**BG 20**

**SCHOTT**  
TOTAL CUSTOMER CARE



<b>Reflection factor</b>	
$P_d$	0.91
<b>Bubble content</b>	
Bubble class	2
<b>Chemical resistance</b>	
FR class	0
SR class	1.0
AR class	1.0

<b>Density</b>	
$\rho$ [g/cm <sup>3</sup> ]	2.86
<b>Transformation temperature</b>	
$T_g$ [°C]	561
<b>Thermal expansion</b>	
$\alpha_{-30/+70^\circ\text{C}}$ [10 <sup>-6</sup> /K]	8.3
$\alpha_{20/300^\circ\text{C}}$ [10 <sup>-6</sup> /K]	9.3
<b>Temperature coefficient</b>	
$T_k$ [nm/°C]	

Per DIN 58191  
Per DIN 58191

Ionically colored glass

<b>Refractive index n</b>		
$\lambda$ [nm]	Element	n
587.6	He	1.55

**Transmittance  $\tau$  and internal transmittance  $\tau_i$  at d = 1 mm**

$\lambda$ [nm]	$\tau$	$\tau_i$	$\lambda$ [nm]	$\tau$	$\tau_i$
200	<1·10 <sup>-5</sup>	<1·10 <sup>-5</sup>	980	0.90	0.98
210	<1·10 <sup>-5</sup>	<1·10 <sup>-5</sup>	1000	0.89	0.98
220	<1·10 <sup>-5</sup>	<1·10 <sup>-5</sup>	1020	0.90	0.99
230	<1·10 <sup>-5</sup>	<1·10 <sup>-5</sup>	1040	0.90	0.99
240	<1·10 <sup>-5</sup>	<1·10 <sup>-5</sup>	1060	0.90	0.99
250	0.05	0.05	1080	0.90	0.99
260	0.41	0.45	1100	0.91	1.00
270	0.59	0.64	1150	0.91	1.00
280	0.67	0.74	1200	0.90	0.99
290	0.71	0.78	1250	0.90	0.99
297	0.72	0.80	1300	0.90	0.99
303	0.70	0.77	1350	0.86	0.95
321	0.75	0.82	1400	0.80	0.88
328	0.71	0.78	1450	0.74	0.82
342	0.81	0.90	1500	0.64	0.71
354	0.42	0.46	1550	0.72	0.79
357	0.41	0.45	1600	0.81	0.89
375	0.91	1.00	1650	0.86	0.95
383	0.90	0.99	1700	0.88	0.96
390	0.91	1.00	1750	0.86	0.95
403	0.90	0.99	1800	0.82	0.90
412	0.91	1.00	1850	0.74	0.82
441	0.69	0.75	1900	0.71	0.78
455	0.77	0.85	1950	0.73	0.80
472	0.68	0.75	2000	0.79	0.87
476	0.69	0.76	2100	0.84	0.93
480	0.67	0.74	2200	0.86	0.94
494	0.86	0.94	2300	0.82	0.90
514	0.65	0.71	2400	0.71	0.78
529	0.51	0.56	2500	0.75	0.82
552	0.89	0.98	2600	0.81	0.89
575	0.13	0.14	2700	0.82	0.90
579	0.15	0.16	2800	0.48	0.53
585	0.07	0.08	2900	0.50	0.55
619	0.89	0.98	3000	0.52	0.57
626	0.89	0.97	3200	0.53	0.58
651	0.91	1.00	3400	0.48	0.52
684	0.82	0.90	3600	0.37	0.41
710	0.91	1.00	3800	0.40	0.44
740	0.28	0.31	4000	0.37	0.41
745	0.30	0.33	4200	0.30	0.33
748	0.30	0.33	4400	0.14	0.16
775	0.83	0.91	4600	0.03	0.03
807	0.17	0.19	4800	0.005	0.005
844	0.89	0.98	5000	<1·10 <sup>-5</sup>	<1·10 <sup>-5</sup>
880	0.60	0.66	5200	<1·10 <sup>-5</sup>	<1·10 <sup>-5</sup>
900	0.81	0.89			
920	0.88	0.97			
940	0.90	0.99			
960	0.90	0.99			

<b>Tristimulus values</b>						
	d	x	y	Y	$\lambda_d$	$P_e$
	[mm]				[nm]	
A	1	0.442	0.391	62	-576	0.05
2856	2	0.451	0.385	51	-567	0.09
K	3	0.463	0.383	45	-538	0.11
	5	0.487	0.384	38	-506	0.15
	1	0.414	0.382	62	-576	0.05
3200	2	0.422	0.377	51	-569	0.08
K	3	0.434	0.376	45	-547	0.10
	5	0.459	0.378	37	-505	0.13
	1	0.294	0.309	63	478	0.09
D <sub>65</sub>	2	0.297	0.306	52	469	0.08
	3	0.307	0.309	45	-563	0.07
	5	0.329	0.319	36	-499	0.07

### Application notes

V  
Transmission changes are possible under the action of intense ultraviolet radiation  
- see section 8.3